

報文

화학공학, 제10권 제1호
J. KIChE, Vol. 10, No. 1.
Feb. 1972.

Cumene Hydroperoxide에 依한 Propylene의

液相觸媒酸化 反應機構 및 反應速度

李 華 榮* · 李 載 聖*

Liquid-phase Catalytic Oxidation Mechanism and Kinetics
of Propylene to Propylene Oxide by Cumene Hydroperoxide

*Wha Young Lee · *Chai-Sung Lee

Dept. of Chem. Eng., Seoul National Univ.

Abstract

Propylene of C.P. Grade dissolved in *t*-butanol was catalytically oxidized to propylene epoxide using cumene hydroperoxide, which was prepared by contacting cumene with oxygen. The catalysts used were molybdenum, manganese, cobalt, and copper compounds.

The work of searching the optimal reaction conditions, reaction mechanisms, and its kinetics were attempted by conducting several series of experiments.

It was confirmed in this work that, among catalysts used, the molybdenum catalyst was the only effective one for the selective formation of propylene oxide, and the effective concentration of the catalyst was limited to only a small value; the higher the concentration of molybdenum in reacting solution, the less the portion of cumene hydroperoxide was used for converting propylene into propylene oxide, or the lower the selectivity for forming propylene oxide.

The selectivity attained in this work was more than 98% at reaction temperatures ranging from 80°C to 105°C when the initial relative concentrations of cumene hydroperoxide, *t*-butanol, and propylene in liquid phase were 1, 4, and 16 moles per liter and the molybdenyl naphthenate, less than 1.3×10^{-3} mole per mole of cumene hydroperoxide, was mixed into reactants.

The rate of formation of propylene oxide is

$$\frac{dx}{dt} = K[\text{ROOH}] [\text{CH}_3\text{CH}=\text{CH}_2] [\text{Mo}]^\alpha (1 \leq \alpha \leq 2)$$

The rate increased about twice by the raise of 10°C in reaction temperature.

The activation energy calculated from the Arrhenius plot is 18.8 Kcal/mole.

I. 緒論

酸化 프로페렌의 製法에는 Chlorohydrin 法^{1,2)}, 氣相接觸酸化法^{3,4)}, 液相酸化法⁵⁻⁹⁾, 二段酸化法¹⁰⁾, 過醋酸法¹¹⁾, 및 電解法¹²⁾ 等이 있으며 最近에는 有機過酸化物(Organic Hydroperoxide)을 酸化劑로 하는 間接酸化法이 研究되고 있다. 이 方法에 對하여 지금까지 發表된 特許들¹³⁻¹⁶⁾에 依하면 有機過酸化物로는

benzene ring에 인접한 炭素에 적어도 한個의 水素를 갖고 있는 alkyl aromatic 系列의 炭化水素로 부터 誘導된 hydroperoxide 가 効果的이며 觸媒로서는 Mo, W, 및 Ti 等의 化合物이 効果的이라고 되어있다. 그러나 이들 特許에는 反應器의 容積을 表示하지 않고 反應物質의 投入量만으로 組成을 表示하여 液相에서의 농도를 알수 없고 反應機構나 觸媒의 動等에는 全然 發表된 바가 없다. 또한 現在까지 發表된 다른

* 서울工大 化學工學科

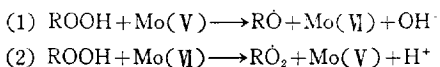
文獻들^{7, 8, 17, 18, 19)}에도 propylene을 空氣로 直接 液相酸化할 경우의 反應機構에 對하여서만 論議되었을 뿐이다.

本研究에서는 容積이 270 ml인 高壓反應器에서 有機過酸化物로는 實驗室에서 直接 製造한 cumene hydroperoxide(以下 CHP로 略記함), 溶媒로서 *t*-butanol, 觸媒로서는 Mo 化合物를 用いて一般的으로 液相酸化에 사용되고 있다고 報告²⁰⁾된 Co, Mn, 및 Cu等의 化合物을 사용하고 Air Product社에서 輸入한 C.P. grade의 propylene을 反應物質로 하여 이들相互間의 농도를 변화 시키고 反應溫度를 調節함으로서 CHP의 酸化 프로파렌(以下 PO로 略記함) 生成에 對한 選擇度가 가장 좋은 反應條件를 찾았다. 또한 生成物들의 分析으로 부터 反應機構를 究明하였으며 反應速度와 活性化에너지를 算出하고 各 觸媒들의 行動을 究明하였다.

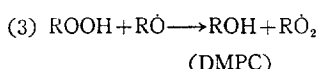
II. 酸化反應機構

Propylene과 CHP가 反應하여 PO를 生成하는 反應機構에 對하여서는 아직까지 어느 文獻에도 發表된 바 없으나 여러液相酸化에 關係되는 文獻들과 遊離基의 反應機構로 부터 다음과 같은 反應들을 생각할 수가 있다.

一般的으로 轉移金屬과 hydroperoxide가 反應할 경우 轉移金屬의 酸化還元에 依하여 遊離基들을 生成한다는 報告^{21a, 22a, 23a, 24a, 25~29)}에 따라 Mo 觸媒가 CHP와 反應하여 다음과 같이 RO와 RO₂를 生成할 것으로 생각 한다.

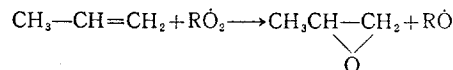


한편 Morse等^{22b, 23b, 30, 31)}에 依하면 *t*-butyl hydroperoxide가 95~100°C에서 分解하여 定量的으로 O₂와 *t*-butanol을 生成한다는 報告에 따라 反應(1)에서 生成된 RO는 CHP로 부터 水素를 抜取(abstraction)하여 反應(3)과 같이 dimethyl phenyl carbinol(以下 DMPC로 略記함)과 RO₂를 生成할 것으로 본다.



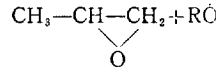
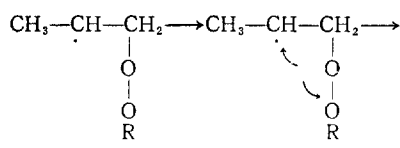
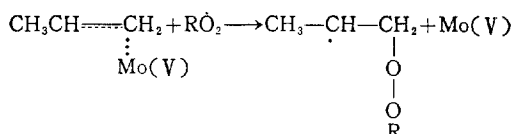
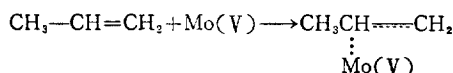
또 Brill等 여러 사람들의 報告^{17~19)}에 依하면 酸素로 olefin을 液相酸化할 경우 olefin中의 一部는 alkyl-peroxy 遊離基와 反應하여 olefin oxide가 生成된다는 說에 따라 反應(2)와 (3)에서 生成된 cumyl-peroxy

遊離基, RO₂, 是 無觸媒下에서도 一部는 propylene과 反應하여 다음과 같이 PO를 生成할 수 있을 것으로 본다.

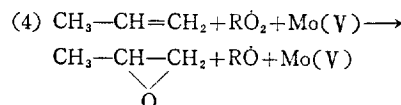


그러나 觸媒酸化를 할 때 CHP가 선택적으로 PO 生成에 소비 된다는 것은 RO₂가 propylene과 反應하여 上記의 反應을 主로 일으킨다는 것을 의미 하므로 Mo과 같은 觸媒는 上記의 反應을 선택적으로 일으키는 作用을 해야 한다.

이때 Mo이 propylene과 反應하여 RO₂와 結合시켜서 PO를 生成하게 하는 過程은 다음과 같이 생각할 수 있다. 即

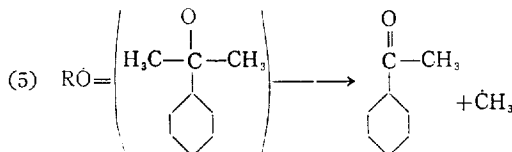


上記한 PO 生成過程을 綜合하면 Mo의 酸化狀態는 변화가 없으며 總括해서 (4)式으로 쓸 수 있다.

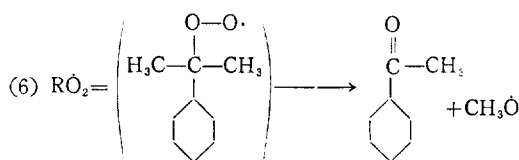


이렇게 하여 生成된 RO는 反應(3)에 參여하여 DMPC와 RO₂를 生成하고 이 RO₂가 다시 反應(4)에 依하여 PO를 生成하는 連鎖傳播反應(Chain Propagation Reaction)을 일으키면서 結局 CHP와 propylene이 反應하여 PO와 DMPC를 生成하는 過程을 밟게 된다. 그러나 RO₂가 (3)과 같은 反應에 參與하지 않거나 RO₂가 (4)와 같은 反應을 하지 않을 경우 이들

遊離基는 分裂反應(Fragmentation Reaction)을 하게 되는데 Pryor 等^{24b, 32}에 依하면 遊離基가 分裂反應을 할 경우 β -解裂(β -Scission)을 하며 安定한 遊離基가生成되는 方向으로 反應이 進行된다는 說에 따라 RO 는 分裂反應에 依하여 反應(5)와 같이 acetophenone 과 CH_3 를 生成할 것으로 보며 이 反應은 여러 사람들^{21c, 33-36}의 實驗에서도 확인 되었다.



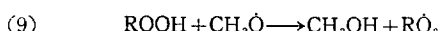
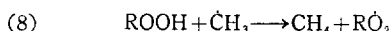
또한 Emanuel 等^{21d, 31}에 依하면 (6)과 같은 反應이 가능하며



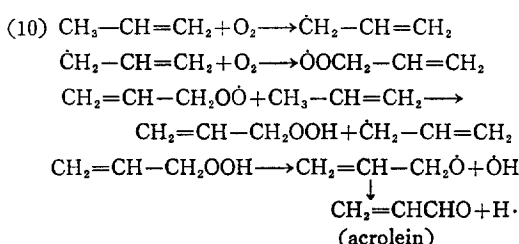
RO_2 가 反應(7)과 같이 RO 와 O_2 를 生成하는 分裂反應을 할 수도 있다.^{22b, 23b}



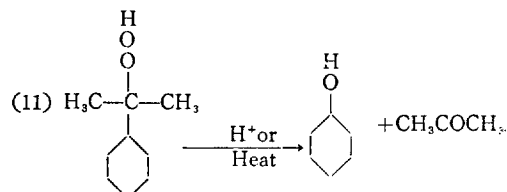
反應(5)와 (6)에서 生成된 $\dot{\text{C}}\text{H}_3$ 와 $\text{CH}_3\dot{\text{O}}$ 는 각各 ROOH 로 부터 水素를 抽取하여 CH_4 와 CH_3OH 를 生成 한다.



그 밖에 일어날 수 있는 反應들로서는 反應(7)에서 生成된 O_2 와 propylene 이 다음과 같은 反應機構에 依하여 acrolein 이 生成될 수 있고⁽³⁾

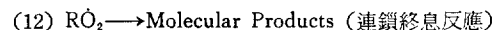


遊離基反應以外의 다른 反應으로서 CHP의 热分解 혹은 酸觸媒反應에 依하여 phenol 과 acetone 이 生成될 수 있다.



以上 列舉한 여러 反應들 中에서 CHP가 모두 PO生成으로 轉換되는 바람직한 反應은 (3)과 (4)에 依한 連鎖傳播反應이며 反應(6)과 (7)은 反應(4)와 並行해서 일어날 수 있는 경쟁반응으로서 PO를 生成하지 않고 CHP를 分解시키는 反應이다. 上記한 여러 遊離基中에서 RO_2 를 제외한 모든 遊離基들은 ROOH 로부터 水素를 抽取하여 分子가 되겠으나 RO_2 의 경우 ROOH 로부터 水素拔取反應(Hydrogen Abstraction Reaction)을 한다 하여도 다시 RO_2 가 生成되므로 용액에 主로 存在하는 遊離基는 RO_2 라고 생각할 수 있다.

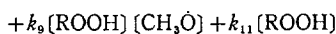
遊離基의 終息反應으로서는 두개의 遊離基가 서로 만나서 分子를 이루는 二次終息反應(Second Order Termination Reaction)이 通常의 이지만 溶液內에 主로 存在하는 遊離基인 RO_2 는 서로 만나면 反應(7)에 依하여 RO 를 生成하는 一種의 連鎖傳播反應을 하므로 遊離基의 終息은 遊離基에 關한 一次反應에 의해서 이루어지게 된다. 遊離基가 一次終息反應을 하는 경우로서는 反應器 壁에 부딪치어 遊離基가 消滅되는 wall termination reaction이나 遊離基의 inhibitor와 反應하거나 轉移金屬과 反應하는 경우 等이다.



III. 反應速度論的 考察

前述한 바와 같은 (1)부터 (12)까지의 反應이 다 일어난다고 할 경우 CHP의 分解를 일으키는 反應은 (1), (2), (3), (8), (9), 및 (11) 反應으로서 이때 CHP의 分解速度는 다음과 같다.

$$(1) \frac{-d[\text{ROOH}]}{dt} = k_1[\text{ROOH}] [\text{Mo(V)}] + k_2[\text{ROOH}] [\text{Mo(VI)}] + k_3[\text{ROOH}] [\text{RO}] + k_4[\text{ROOH}] [\dot{\text{C}}\text{H}_3]$$



但 k_i =各反應式에서의 反應速度定數
($i=1, 2, \dots, 12$)

그런데 遊離基들은 反應性이 매우 커서 짧은 誘導期를 지나면 곧 遊離基의 生成速度와 消滅速度가 같아지는 定常濃度狀態(Stationary Concentration State)에 到達하는 것으로 생각 되며 이때 各 遊離基들의 時間에 따르는 농도변화는 없게 된다. 따라서 이러한 狀態에서 $\frac{d[R\dot{\text{O}}_2]}{dt}=0$ 가 되므로

$$\begin{aligned} \text{(ii)} \quad & \frac{d[R\dot{\text{O}}_2]}{dt} = k_2[\text{ROOH}][\text{Mo(V)}] + k_3[\text{ROOH}] \\ & [\text{R}\dot{\text{O}}] - k_4[\text{R}'\text{H}][\text{R}\dot{\text{O}}_2][\text{Mo(V)}] \\ & - k_5[\text{R}\dot{\text{O}}_2] - 2k_7[\text{R}\dot{\text{O}}_2]^2 + k_8[\text{ROOH}] \\ & [\text{CH}_3] + k_9[\text{ROOH}][\text{CH}_3\dot{\text{O}}] \\ & - k_{12}[\text{R}\dot{\text{O}}_2] = 0 \end{aligned}$$

이다. 但 $[\text{R}'\text{H}] = [\text{CH}_3\text{CH}=\text{CH}_2]$

(ii)式을 整理하면

$$\begin{aligned} & k_2[\text{ROOH}][\text{Mo(V)}] + k_3[\text{ROOH}][\text{R}\dot{\text{O}}] \\ & + k_8[\text{ROOH}][\text{CH}_3] + k_9[\text{ROOH}][\text{CH}_3\dot{\text{O}}] \\ & = k_4[\text{R}'\text{H}][\text{R}\dot{\text{O}}_2][\text{Mo(V)}] + 2k_7[\text{R}\dot{\text{O}}_2]^2 \\ & + k_6[\text{R}\dot{\text{O}}_2] + k_{12}[\text{R}\dot{\text{O}}_2] \end{aligned}$$

가 되며 上記式을 (i)式에 代入하여 다음과 같은 式을 얻을수 있다.

$$\begin{aligned} \text{(iii)} \quad & \frac{-d[\text{ROOH}]}{dt} = k_1[\text{ROOH}][\text{Mo(V)}] \\ & + k_6[\text{R}\dot{\text{O}}_2] + 2k_7[\text{R}\dot{\text{O}}_2]^2 \\ & + k_{11}[\text{ROOH}] + k_{12}[\text{R}\dot{\text{O}}_2] \\ & + k_4[\text{R}'\text{H}][\text{R}\dot{\text{O}}_2][\text{Mo(V)}] \end{aligned}$$

$\text{R}\dot{\text{O}}_2$ 의 농도를 定常濃度法^{21e, 37, 38, 39)}에 依하여 求하면

$$\text{(iv)} \quad [\text{R}\dot{\text{O}}_2] = k_{12}^{-1}[\text{ROOH}] \quad \{k_1[\text{Mo(V)}] + k_2[\text{Mo(V)}]\}$$

이 된다. (iv)式을 보면 $\text{R}\dot{\text{O}}_2$ 의 농도는 連鎖開始速度에 比例 한다. 그런데 Mo의 酸化狀態가 變하는 反應은 反應 (1) 및 (2)이며 各 酸化價 Mo의 농도가 定常濃度에 到達하면 各 酸化價 Mo의 농도는 時間에 關係없이 一定하게 되므로

$$\frac{d[\text{Mo(V)}]}{dt} = \frac{d[\text{Mo(V)}]}{dt} = 0 \text{ 가 된다.}$$

反應 (1) 및 (2)로 부터

$$\frac{d[\text{Mo(V)}]}{dt} = [\text{ROOH}] \{k_1[\text{Mo(V)}] - k_3[\text{Mo(V)}]\} = 0$$

이므로 $k_1[\text{Mo(V)}] = k_3[\text{Mo(V)}]$ 이 되며 이것을 (iv)式에 代入하여 (v)式을 얻을수 있다.

$$\text{(v)} \quad [\text{R}\dot{\text{O}}_2] = 2k_1k_{12}^{-1}[\text{ROOH}][\text{Mo(V)}]$$

Mo 觸媒의 몇가지 分析結果를 綜合하면 Mo은 대체로 5價의 酸化狀態임이 인정 되므로 上記式에서 $[\text{Mo(V)}]$ 는 단순히 $[\text{Mo}]$ 으로 表示할 수 있으며 (v)式을 (iii)式에 넣어서 整理하면 다음과 같이 된다.

$$\begin{aligned} \text{(vi)} \quad & \frac{-d[\text{ROOH}]}{dt} = \{k_1[\text{ROOH}][\text{Mo}] + \\ & k_{11}[\text{ROOH}] + 2k_1k_6k_{12}^{-1}[\text{ROOH}][\text{Mo}] \\ & + 8k_1^2k_7k_{12}^{-2}[\text{ROOH}]^2[\text{Mo}]^2 \\ & + 2k_1[\text{ROOH}][\text{Mo}]\} \\ & + [2k_1k_4k_{12}^{-1}[\text{ROOH}][\text{Mo}] \\ & [\text{R}'\text{H}][\text{Mo}]) \end{aligned}$$

또한 (vi)式에 表示된 CHP의 分解速度中에서 [] 내의 CHP 分解速度만이 PO의 生成速度를 나타내며 [] 내의 CHP 分解速度는 PO以外의 다른 物質들을 生成하는 speed이다. [] 내의 CHP 分解速度가 [] 内의 CHP 分解速度에 比하여 無視할 수 있도록 작을 경우 全 CHP의 分解速度는 PO의 生成速度와 거의 같다고 할수 있으므로 PO의 生成速度는 다음과 같이 表示할 수 있다.

$$\text{(vii)} \quad \frac{d[\text{PO}]}{dt} \cong \frac{-d[\text{ROOH}]}{dt} = 2k_1k_4k_{12}^{-1}[\text{R}'\text{H}] [\text{ROOH}][\text{Mo}]^2$$

$2k_1k_4k_{12}^{-1} = K$ 라 놓고 (vii)式을 풀면 (viii)式이 된다.

$$\frac{dx}{dt} = K(P_o - x)(C_o - x)[\text{Mo}]^2$$

$$\text{(viii)} \quad l_n \frac{C_o(P_o - x)}{P_o(C_o - x)} = K(P_o - C_o)[\text{Mo}]^2 t = K' t$$

$$K' = K(P_o - C_o)[\text{Mo}]^2$$

$$x = \text{PO의 농도}$$

$$C_o = \text{CHP의 初期농도}$$

$$P_o = \text{Propylene의 初期濃度}$$

그러므로 分解된 CHP 의 거의 모두가 PO 生成에 消費되고 前述한 反應機構가 맞는다면 (viii)式의 左邊을 時間, t , 上에 對하여 plot 하였을 때 直線이 되어야 하며 이 直線의 기울기로 부터 CHP 와 propylene 이 反應하여 PO 를 生成시키는 反應速度定數, K , 를 求할 수 있다.

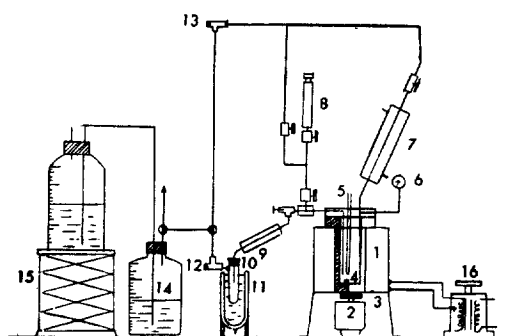
IV. 實驗

本 實驗에 使用된 觸媒는 copper phthalocyanine, cobalt naphthenate, manganese naphthenate, molybdenum trioxide, Climax 社의 molybdenum naphthenate, Shepherd 社의 molybdenyl naphthenate 및 實驗室에서 直接製造한 Mo 化合物 等이다. 溶媒로서는 反應物과 生成物을 均一相으로 만들어 줄 수 있는 *t*-butanol 을 사용하였고 CHP 는 cumene 을 常壓下에서 酸素로 酸化한 다음 濃縮하고 精製^{38,39)}하여 사용하였다.

1. 實驗 裝置

本 研究에 使用된 實驗裝置의 概略圖는 Fig. 1 과 같다. 高壓反應器는 直接 設計하여 熔接部分이 없도록 大徑의 스텐레스 棒을 加工하여 製作하였고 高壓反應裝置의 技術的 解決을 위하여 magnet stirring method 를 사용하였다.

反應器 外壁에는 200 Watt 的 热線 6 個를 3 個씩 幷列로 連結하여 300°C 以上 加熱할 수 있도록 하였고 反應器 上部 후란지에는 Fig. 1 에서 보는 바와 같은 部屬品들을 設置하였다.



- | | |
|------------------------|----------------------------|
| 1. Reactor | 9. Liquid Sample Condenser |
| 2. Motor for Agitation | 10. Liquid Product Sampler |
| 3. Permanent Magnet | 11. Dewar Flask |
| 4. Magnetic Stirrer | 12. Gas Sampling Port 1 |
| 5. Thermocouple Well | 13. Gas Sampling Port 2 |
| 6. Pressure Gauge | 14. Gas Collecting Bottle |
| 7. Reflux Condenser | 15. Bottle Supporter |

8. Liquid Propylene Sampler 16. Slidac

Fig. 1. Experimental Set-up for Propylene Oxidation

2. 實驗 方法

PO 的 收率이 좋은 反應條件를 찾기 위하여 다음과 같은 方法으로 實驗하였다. CHP, *t*-butanol 및 觸媒를 一定量 秤量하여 270 ml 的 유리 컵에 넣고 이것을 反應器에 넣어 密閉시킨다.

反應器에 *propylene* 的 正確한 量을 液體로서 投入하기 위하여 *propylene sampler* 를 진공펌프로 排氣시키고 *propylene cylinder* 에 연결한 다음 이 *sampler* 를 ice bath 에서 冷却하여 *propylene* 이 *sampler* 内에 液化되도록 한다. *sampler* 와 液化된 *propylene* 을 秤量한 다음 *sampler* 를 反應器에 連結하여 *propylene* 을 投入한다. 反應器에 投入되지 못한 *propylene* 的 量을 Fig. 1 的 *gas collecting bottle* 에 蓋아서 算出함으로서 反應器 投入量을 計算한다. 다음으로 設定된 反應溫度 까지 加熱한 다음 變壓器로 入力 電壓을 조절함으로서 反應溫度를 一定하게 維持 시킨다. 反應時間이 지나면 反應器를 ice bath 에 넣어 急冷하여 反應을 終結시키고 生成物들을 分析 한다.

이와 같이 찾아낸 反應條件에서 反應速度를 測定하기 위하여 上記한 方法으로 *t*-butanol, *propylene*, 및 觸媒를 反應器에 投入한 다음 設定된 反應溫度까지 加熱한다. CHP 的 *sampler* 를 反應器에 連結하고 反應器內의 壓力 보다도 高壓의 空氣로 밀어서 CHP 를 反應器에 投入한다. 이 時間을 反應開始時間으로 하여 여러 反應時間에 對하여 같은 方法의 實驗을 함으로서 反應速度를 求하였다.

3. 分析

反應 終結後 反應物質에 對한 PO 的 收率은 두 가지 方法으로 計算할 수가 있다. 한 가지 方法은 轉換된 *propylene* 的 PO 上에 對한 收率計算 方法이며 다른 한 가지는 轉換된 CHP 中에서 PO 生成에 消費된 量을 指하는 方法이다. 本 實驗에서는 CHP 的 PO 生成에 對한選擇度로서 收率을 計算하였다.

CHP 는 80°C 以下에서는 중기 압^{21,22)}이 매우 낮고 그 以上的 高溫에서는 热分解하여 gas chromatography 로 分析할 수가 없었다. 그러므로 CHP 的 分析은 滴定法을 指하였다. CHP 分析에 適合하다고 알려진 滴定法으로는 鹽化第一錫法^{23,40,41)}과 沃度法⁴²⁾ 두 가지가 있으나 end point 가 확실하고 再現性이 좋은 沃度法을 指하여 CHP 를 分析하였다.

CHP 以外의 反應物들과 生成物들은 모두 gas chro-

matography로 分析하였다. 反應生成物에는 propylene의 酸化物들과 *t*-butanol을 포함하는 低沸點 物質들과 CHP의 轉換에 依해서 生成된 高沸點 物質들로 大別할 수 있다. gas chromatography의 操作條件를 收錄한 Table 1에서 보는 바와 같이 低沸點 物質들은 carbowax 400을 column material로 하여 分析하였고 高沸點 物質들은 SE-30을 column material로 하여 分析하였다.

Table 1. Operational Conditions of Gas Chromatography

	Column 1	Column 2
Column	4mm ϕ × 1.5m, st. st. tube	4mm ϕ × 3m, st. st. tube
Column Material	Carbowax 400	SE-30
Support Material	60-80 mesh Firebrick	60-80 mesh Chromosorb
Column Oven Temperature	60°C	100°C
Detector Oven Temperature	120°C	120°C
Injection Port Temperature	110°C	110°C
Detector Current	120mA	120mA
Carrier Gas Flow Rate	He, 30ml/min.	He, 30ml/min.
Chart Speed	10-40mm/min.	10mm/min.

反應이 終結된 後 反應系의 모든 物質들은 液相斗氣相에 共存하고 있으므로 各 相에 存在하는 生成物과 未反應物을 正確하게 分析하여 PO의 收率과 反應速度를 算出하였다.

4. Mo 觸媒의 動動

反應(1)부터 反應(12)까지에서 觸媒가 關與하는 反應은 (1), (2), 및 (4)反應으로서 反應中에 Mo의 酸化狀態가 變하는가 如否를 確認하는 것은 反應機構를 考察하는데 매우 重要하다.

反應前과 反應後의 Mo 觸媒를 鹽酸으로 처리한 다음 分解된 有機物을 完全히 抽出하여 除去해 내고 鹽酸 酸性下의 Mo을 電位差滴定法^{39, 43)}으로 測定해 본 結果 反應前과 反應後에 Mo의 酸化狀態가 모두 5價인 것 이 確認 되었다. この結果로 보아前述한 反應機構에는 모순이 없음을 인정할 수 있었다.

V. 結果 및 考察

全體 實驗 結果中에서 檢討할만한 것들은 Table 2에 收錄하였다. 全般的으로 볼 수 있는 現象은 Mo 化合物들을 觸媒로 사용하였을 때에는 選擇度가 좋으나 다른 金屬鹽들을 觸媒로 사용하였을 때에는 選擇度가 顯

Table 2.

Run No.	Propylene (gr.)	CHP (gr.)	<i>t</i> -BuOH (gr.)	Catalyst		Temp. °C	Press. psig	Time hr	CHP Conv. %	Selectivity %
				(註) No.	gr.					
9	32	10	10	1	20(mg)	110	580	6	97	below 10
50	75	10	10	2	0.4	90	530	1	81	73.7
55	50	10	20	2	0.38	92	450	1	84	76.5
57	52	10	20	3	0.78	90	450	1	80	98.3
61	0	10	10	2	0.3	90	—	1	96	—
62	52	10	20	3	0.78	90	450	1	81	98.5
68	51	10	20	—	—	90	450	1	56	83
69	52	10	20	4	0.3	92	480	1	98	below 2
72	54	10	20	5	0.5	90	480	1	93	below 10
86	52	10	20	3	0.78	76	380	2	65	98<
92	52	10	20	3	0.78	105	550	1	93	98<
99	52	10	20	6	0.6	94	500	1	75	97
113	52	10	20	7	—	110	580	6	85	98<
114	52	10	20	none	—	115	600	7	53	47
115	52	10	20	8	0.05	25-100	—	7	—	—
116	52	10	20	3	0.78	90	450	1	—	—

(註): Catalyst No. 1; Copper phthalocyanine

Catalyst No. 2: 5%의 모리브덴金屬을 含有한 Climax 社 製品, molybdenum naphthenate

Catalyst No. 3; 1% 의 모리브덴金屬을 含有한 Shepherd 社 製品 molybdenyl naphthenate

Catalyst No. 4; 6% 의 코발트를 含有한 Cobalt naphthenate

Catalyst No. 5; 8% 의 망간을 含有한 Manganese naphthenate

Catalyst No. 6; 實驗室에서 直接製造 하였으며 1.5% 의 Mo 을 含有한 Molybdenyl naphthenate

Catalyst No. 7; *t*-Butanol에 용해된 MoO_3

著하게 낮다는 事實이다.

a) Co, Mn, 및 Cu 觸媒의 効果

Run 9, 69, 및 72의 實驗結果를 보면 CHP의 轉換率은 90% 以上이나 CHP의 PO 生成에 대한 選擇率는 10% 未滿으로서 이 觸媒들은 反應 (4)에 効果가 없고 CHP가 다른 反應에 依하여 分解됨을 알 수 있다.

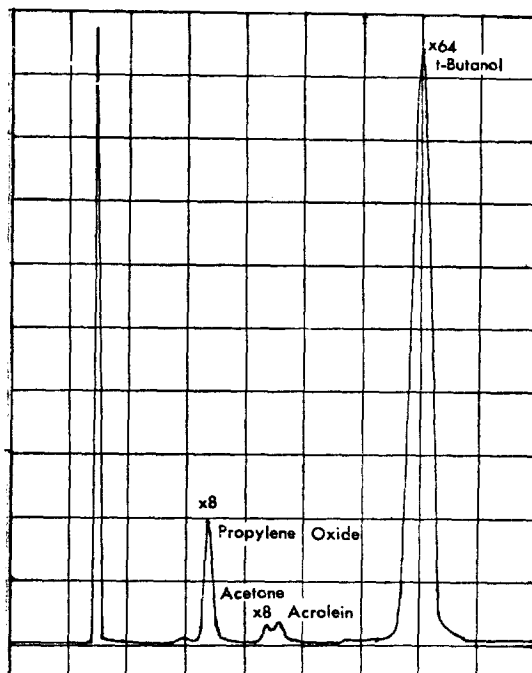


Fig. 2. Gas Chromatogram of Run 72 Products

Mn을 觸媒로 사용한 Run 72의 gas chromatogram, Fig. 2와 Fig. 3을 보면 低沸點 生成物들로는 少量의 PO 以外에도 acetone과 acrolein이 있으며 高沸點 生成物로는 DMPC를 비롯하여 acetophenone과 phenol을 볼 수 있다. 이들 生成物를 檢討해 보면 다음과 같은 反應機構를 생각할 수 있다. 即 PO가 少量 生成되고 DMPC와 acetophenone이 主로 生成되었다 함은 反應 (3)으로 生成된 RO_2 가 反應 (4)에 一部 參與하고 一部는 反應 (7)에 의하여 RO 와 O_2 를 生成하여 여기서 生成된 RO 의 一部는 反應 (5)에 의하여 acetophenone이 되고 그 一部는 다시 反應 (3)에 參여 하여

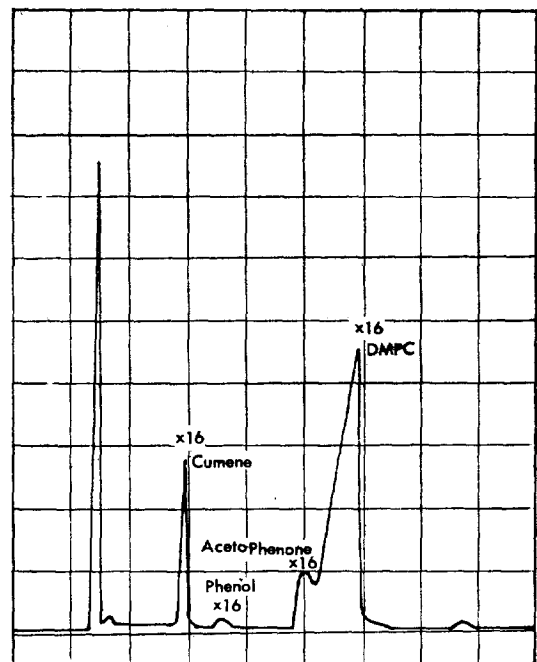


Fig. 3. Gas Chromatogram of Run 72 Products

DMPC를 生成하는 것으로 생각할 수 있다.

또한 (7)에서 生成된 O_2 와 propylene oxide 反應하여 反應 (10)과 같이 acrolein을 生成하는 것으로 보인다. 그런데 이와 같은 現象이 이들 觸媒가 反應 (4)에 効果가 없어서인지 아니면 觸媒量이 過多하고 反應溫度가 높음으로 해서 反應速度가 빨라서인지지를 究明하기 위하여 Run 115에서는 Run 72와 같은 反應物質의 組成에다 Mn 觸媒의 量을 1/10로 줄이고 反應溫度를 常溫으로 부터 시작하여 100°C 까지 徐徐히 증가 시키면서 각溫度에서 試料를 採取하여 分析해 본結果 CHP의 分解速度는 減少 되었음에도 不拘하고 PO의 生成은 거의 없음을 알았다. 또한 acetophenone의 生成이 反應 (5)에 依한 것인지 또는 (6)에 依한 것인지를 조사하기 위하여 Run 115의 氣相混合物을 molecular sieve 5A를 column material로 하여 gas chromatography로 分析해 본 결과 CH_4 가 檢出되어 acetophenone이 反應 (5)에 依한 生成되었음을 확인하였다.

b) Propylene 농도의 영향

Table 3에서 보는 바와 같이 모든 反應條件을 一定하게 놓고 propylene의 농도만을 변경하면 Fig. 4와 같은 關係를 얻는다. Propylene의 농도가 증가하면 (vi)式의 右邊에서 []내의 $[R'H]$ 가 相對的으로 增加하여 PO의 生成量이 증가되나 (vi)式의 右邊 全體에서 $[ROOH]$ 의 相對的減少로 CHP의 分解速度가 減少된다. Run 36과 같이 propylene의 농도가 작을 경우 CHP는 大部分이 phenol, DMPC, 및 acetophenone으로 分解되는 것으로 보아 反應 (4)가 進行되지 못하고 反應 (3), (5), (6), (7), (8), (9), 및 (11)이 進行되는 것으로 생각할 수 있다.

c) Mo 鋅媒의 效果

CHP, *t*-butanol, 및 propylene의 液相濃度比가 1 :

Table 3.

Run No.	Propylene (gr.)	CHP (gr.)	<i>t</i> BuOH (gr.)	Catalyst		Temp. °C	Press. psig	Time hr.	CHP Conv. %	Selectivity %
				No.	gr.					
36	12	10	10	2	0.34	98	340	1	97	1.2
57	25	10	10	2	0.34	91	380	1	88	24
46	26	10	10	2	0.34	92	380	1	88	21.5
47	35	10	10	2	0.34	90	420	1	82	46.2
48	51	10	10	2	0.35	91	500	1	76	66.5
49	62	10	10	2	0.35	91	525	1	73	68.2
54	75	10	10	2	0.34	90	530	1	69	76.2

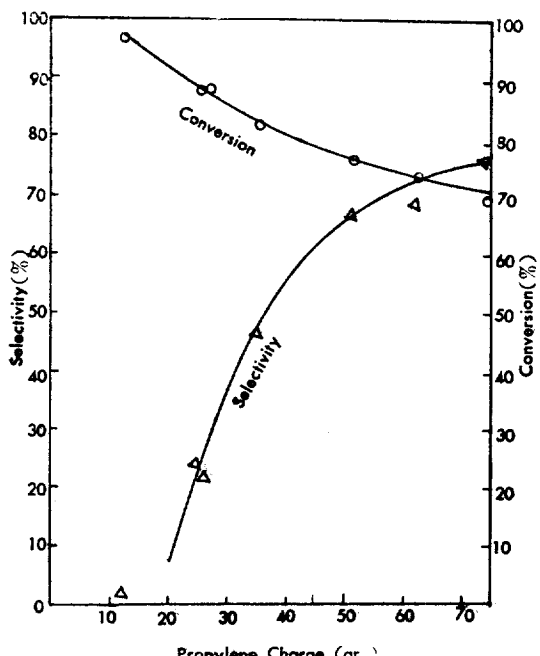


Fig. 4. CHP Conversion and CHP Selectivity to P.O. vs Propylene Charge

4 : 16 이고 Mo 鋅媒를 6.8×10^{-4} mole/l로 混入한 Run 62의 結果를 보면 CHP의 PO 生成에 對한 選擇度가 98%以上이 되며 이것을 分析한 Fig. 5와 Fig. 6에서 보는 바와 같이 acetone과 phenol이 거의 生成되지 않고 propylene의 酸化物은 PO뿐이며 CHP도 99%以上이 DMPC로 轉換되었다. 이런 點으로 보아 CHP의 分解는 反應(3)과 (4)의 連鎖傳播反應에 依해 主로 일어났고 反應 (5)에 依하여 acetophenone이 微量 生成되었을 뿐이다.

d) 反應溫度의 영향

모든 反應條件를 Run 62와 같게 하여 反應溫度만을 76°C와 105°C로 實驗한 Run 86과 Run 92의 結果를 보면 CHP의 PO 生成에 對한 選擇度에는 別差異가 없

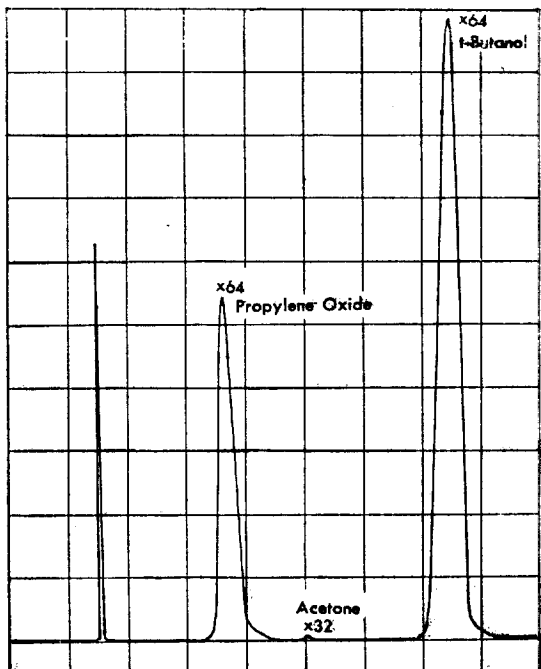


Fig. 5. Gas Chromatogram of Run 62 Products

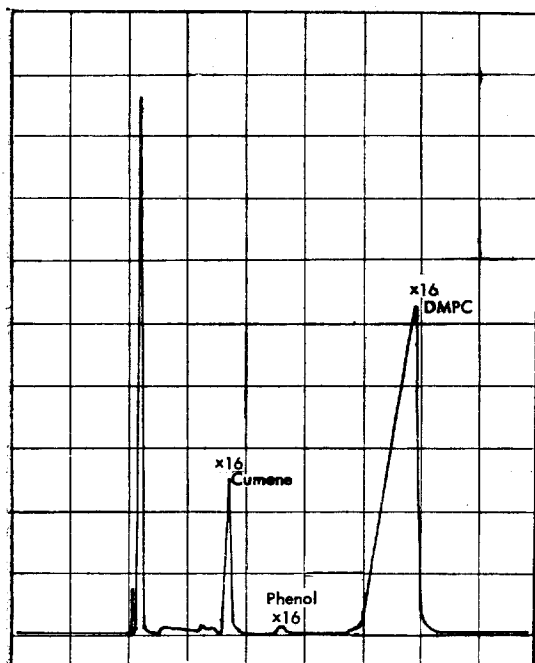


Fig. 6. Gas Chromatogram of Run 62 Products

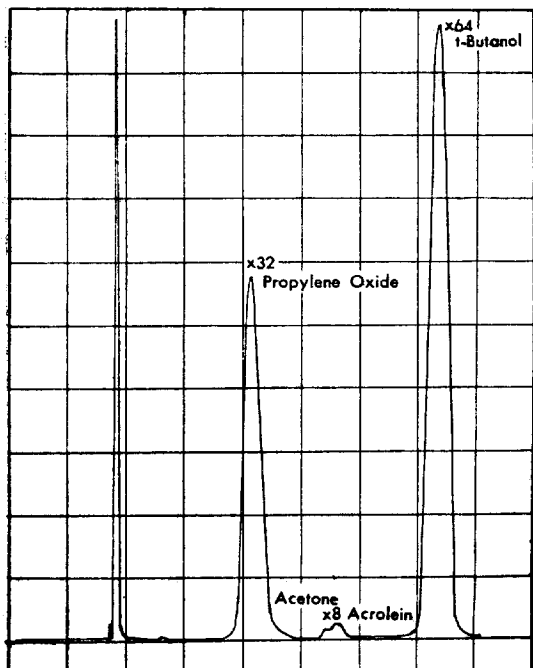


Fig. 7. Gas Chromatogram of Run 114 Products

고 反應速度에만 關係됨을 알수 있다.

e) Catalyst No. 6의 效果

JAKICH, Vol. 10, No. 1, Feb 1972

Run 99는 實驗室에서 直接 製造한 molybdenyl naphthenate 를 觸媒로 사용한 實驗이다. Table 2에서 보는 바와 같이 이 實驗의 結果는 Run 62의 結果와 大同小異하여 Shepherd 社의 molybdenyl naphthenate에 比하여 遜色이 없음을 증명 하였다.

f) MoO_3 의 觸媒 效果

Run 113은 *t*-butanol에 微量 용해된 MoO_3 를 觸媒로 사용한 實驗으로 反應物質의 組成을 Run 62와 같게 하고 110°C 에서 6時間 反應시킨 結果 85%의 CHP가 分解되고 그 중의 98%以上이 PO를 生成하는데 소비되었다. 이 實驗 結果로 보아 6價의 Mo이 反應(2)와 같은 連鎖開始反應을 일으킨다는 것을 확인할 수 있다.

g) 無觸媒 反應

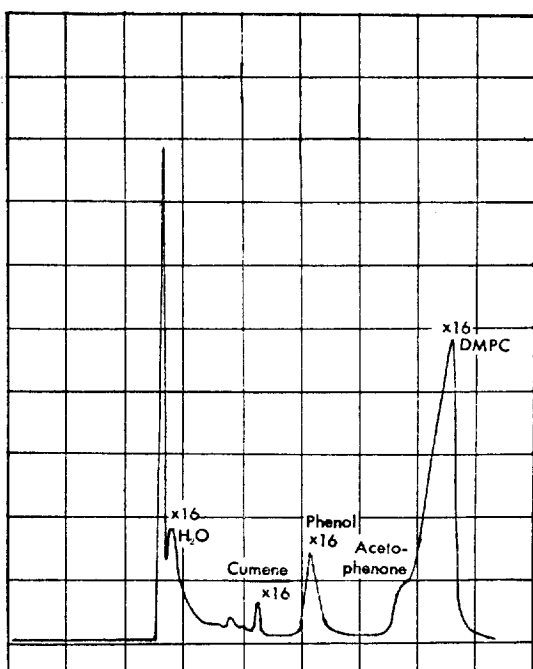
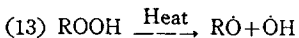


Fig. 8. Gas Chromatogram of Run 114 Products

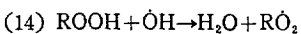
Run 114는 Run 62와 같은 組成으로 無觸媒下에서 115°C 로 7時間 동안 反應시킨 實驗이다. 이 實驗의 生成物들을 分析한 Fig. 7과 Fig. 8을 보면 低沸點 生成物은 PO가 大部分이나 acetone과 acrolein이 있고 高沸點物에는 DMPC以外에도相當量의 acetophenone이 있고 少量의 H_2O 가 生成된 것이 特徵이다. 이러한 生成物들로 보아 無觸媒反應에서는 다음과 같은 反應機構를 생각할 수 있다.

即 CHP가 熱分解 하여 反應 (13)과 같이 KO와

OH 를 生成하고



RO 는 反應 (3), (4), (5), 및 (7)에 關與하고 OH 는 ROOH 로부터 水素를 抽取하여 H_2O 를 生成하는것 으로 생각할 수 있다.



그런데 H_2O 의 生成量이 DMPC 보다도 작은 것으로 보아 k_{14} 는 k_3 보다 작은 것으로 볼 수 있다.

驗은 모든 反應件條을 Run 62 와 같게 하고 反應時間은

30 分으로 하여 觸媒의 混入量만을 變化시킨 實驗이다. 이 實驗의 目的是 觸媒의 混入量增減이 CHP의 分解速度, CHP의 PO 生成에 對한 選擇度 및 反應機構에 미치는 영향을 조사하기 위한 것이다. Fig. 9에서 보는 바와 같이 Mo의 농도가 증가함에 따라 CHP의 轉換速度가 처음에는 急激히 증가하다가 漸次로 완만하게 增加하며 PO 生成에 對한 選擇度는 徐徐히 減少함을 알수 있다. 그런데 (vi)式을 보면 Mo의 농도증

Table 4.

Run No.	Propylene (gr.)	CHP (gr.)	<i>t</i> -BuOH (gr.)	Catalyst		Temp. °C	Press. psig	Time hr.	CHP Conv. %	Selectivity %
				No.	gr.					
102	52	10	20	3	0.274	92		0.5	16.6	99<
103	52	10	20	none	none	92		0.5	neg	
104	52	10	20	3	2.34	92		0.5	70.1	81.3
105	52	10	20	3	0.78	92		0.5	55.7	98<
106	52	10	20	3	0.545	92		0.5	42.7	98<
107	52	10	20	3	1.17	92		0.5	62.4	95
108	52	10	20	3	1.56	92		0.5	65.3	89
109	52	10	20	3	0.156	92		0.5	5.72	99<
111	52	10	20	3	0.39	92		0.5	29.2	99<

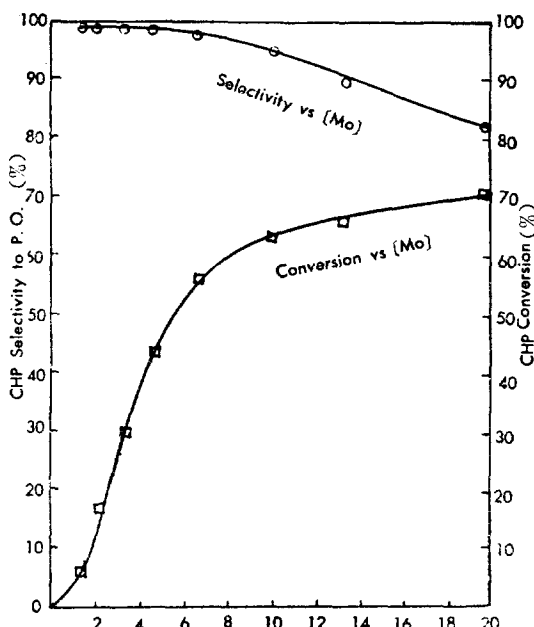


Fig. 9. CHP Conversion and CHP Selectivity to P. O. vs. Concentration of Molybdenyl Naphthalene

h) o 觸媒 濃度의 영향

Table 4에 收錄된 Run 102부터 Run 111까지의 實

가로 CHP의 PO 生成에 對한 選擇度가 減少될수 없다. 이와 같은 現象의 說明은 Mo의 濃度가 증가하면 (vi)式의 []內의 速度가 { }內의 速度에 比하여 相對的으로 減少됨을 의미한다. 2.04×10^{-3} mole/l의 Mo 을 觸媒로 混入한 Run 104의 實驗結果에 依하면 CHP의 DMPC에 對한 選擇度는 96%로서 PO에 對한 選擇度 81.3%보다 훨씬 큰 것을 알수 있다. DMPC에 對한 選擇度가 크다는 것은 反應 (3)에서 生成된 RO_2 가 모두 反應 (4)에 參여하지 않고 一部가 反應 (7)에 參여하여 RO 를 生成하고 이 RO 가 다시 反應 (3)에 依해서 DMPC를 生成한다는 것을 의미 하므로 Mo의 농도가 증가함에 따라 反應 (7)이 反應 (4) 보다도 相對的으로 빨라진다는 것을 의미한다. (vi)式에서 볼수 있는 바와같이 反應 (7)의 速度는 連鎖開始反應速度의 2 乘에 比例하는데 反하여 反應 (4)의 速度는 連鎖開始反應速度의 1 乘에 比例 한다는 事實로부터 Mo의 농도가 증가하면 連鎖開始反應速度는 증가 하나 反應 (4)에서 propylene과 Mo의 反應은 Mo의 농도증가 그대로에 比例하지 못함을 알수 있다. 다시 말해서 反應 (4)의 速度는 $[\text{Mo}]^\alpha$ 에 比例하지 않고 $[\text{Mo}]^\alpha (\alpha \leq 2)$ 에 比例하는 것으로 생각 할수 있다.

Run 102, 105, 106, 109, 및 111의 實驗結果에서 보는 바와 같이 Mo의 농도가 6.84×10^{-4} mole/l 以下일

때 CHP 의 PO 生成에 對한 選擇度가 98% 以上이 되어 (viii)式을 適用 할수 있다.

$$(viii) \ln \frac{Co(Po-x)}{Po(Co-x)} = K(Po-Co)[Mo]^{\alpha}t$$

그런데 이 實驗들은 反應時間은 모두 30分으로 一定하게 하고 Mo의 농도만을 변화시킨 實驗임으로 (viii)式에서 $K(Po-Co)t = A$ 로 놓아 (viii)式을 다음과 같이 변경 할수 있다.

$$(ix) Y = \ln \frac{Co(Po-x)}{Po(Co-x)} = A[Mo]^{\alpha}$$

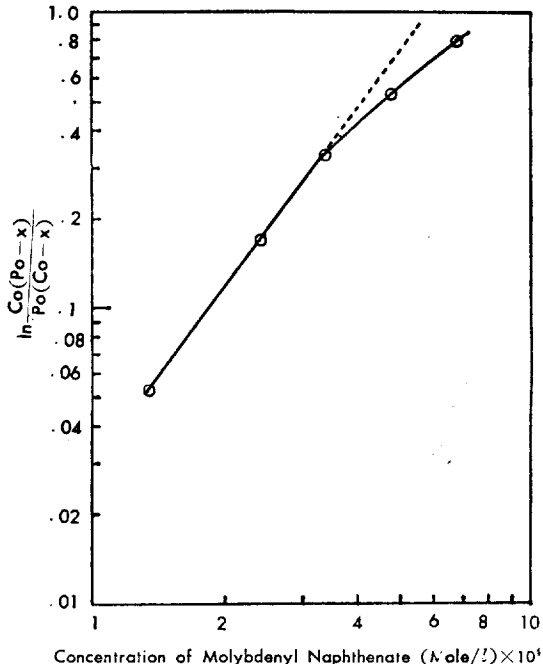


Fig. 10. $\ln \left(\ln \frac{C_o(P_o-x)}{P_o(C_o-x)} \right)$ vs $\ln [M_o]$

(ix)式的 左右兩邊에 對數를 취하여 plot 하면 Fig. 10과 같다. Fig. 10을 보면 Mo의 농도가 3.42×10^{-4} mole/l 까지는 直線의 기울기가 2이며 Mo의 농도가 이것 보다 커지면 차차로 減少하여 6.84×10^{-4} mole/l 일 때는 1.17이 될을 알수 있다.

i) 反應速度定數의 算出

Table 2에 收錄된 Run 62, 86, 및 92의 結果를 보면 76°C부터 105°C까지 CHP의 PO 生成에 對한 選擇度가 98% 以上이므로 (viii)式을 적용하여 反應速度定數 K를 求할 수가 있다. 反應溫度 80°C, 90°C 및 105°C에서 反應時間에 따르는 CHP의 分解를 數는 Fig. 11과 같으며 이 값들을 (viii)式에 적용하여 plot 하면 Fig. 12와 같다. Fig. 12에서 보는 바와 같이 (viii)

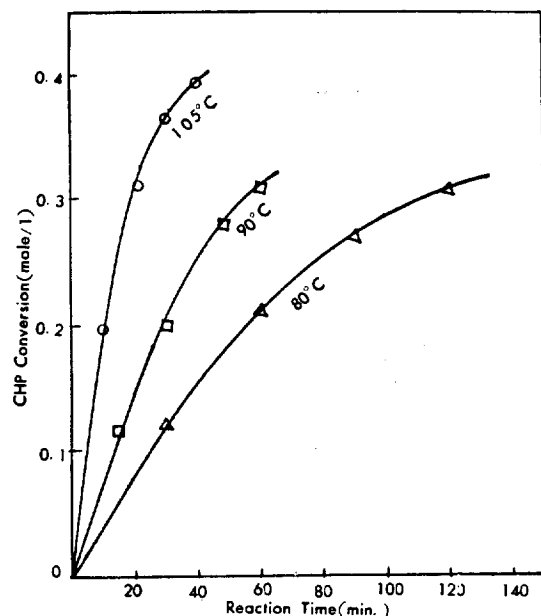


Fig. 11. Kinetic Curves of CHP Conversion

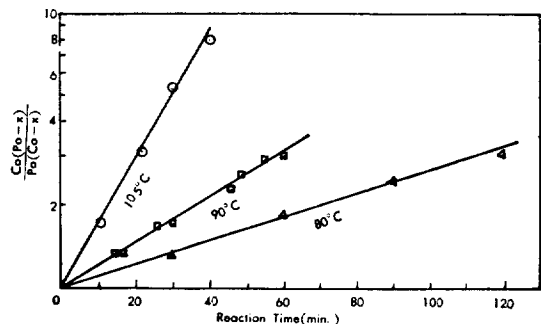


Fig. 12. $\ln \frac{C_o(P_o-x)}{P_o(C_o-x)}$ vs. Reaction Time

式的 左邊을 時間에 對하여 plot 한 것이 直線이 되었음으로 가정한 反應機構가 옳다는 것이 증명 되었다. 이 直線의 기울기로 부터 算出한 反應速度定數 K는 Table. 5와 같다.

Table 5.

Temp. °C	$K'(\text{min}^{-1})$	$K(L^{2.17} \text{ mole}^{-2.17} \text{ min}^{-1})$
80	1.01×10^{-2}	6.73
90	1.89×10^{-2}	12.4
105	5.62×10^{-2}	37.5

j) 活性化 에너지

이 反應의 活性化 에너지를 求하기 위하여 Table 5의 K값을 Arrhenius plot하면 Fig. 13과 같이 直線이 되며 이 直線의 기울기로 부터 算出한 活性化 에너지는 18.8 kcal/mole이다.

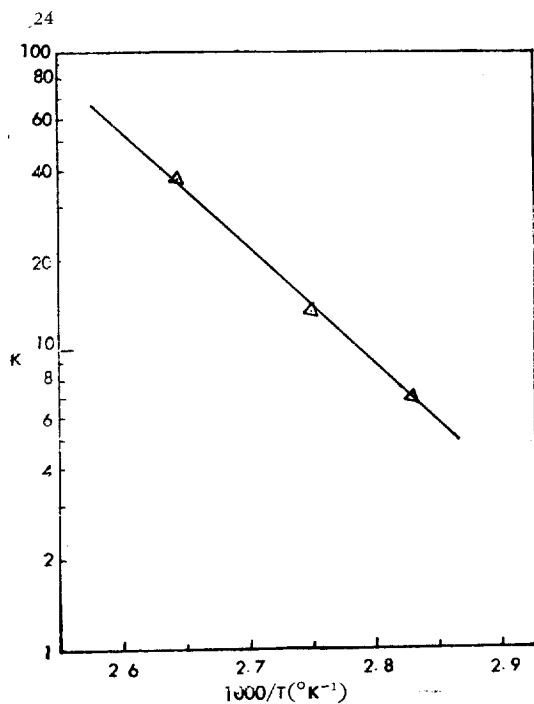


Fig. 13. The Arrhenius Plot

VI. 結論

1. Cumene hydroperoxide 와 propylene의 反應에서 Mo의 觸媒效果는 酸化프로피렌을 選擇的으로 生成시키는데 있다.
 2. CHP의 PO 生成에 對한 選擇度는 CHP, *t*-butanol, propylene, 및 Mo 觸媒의 相對的組成에 關係된다. CHP, *t*-butanol, 및 propylene의 液相에서의 相對的濃度比가 1:4:16이고 Mo 觸媒를 CHP 1 mole에 對하여 1.3×10^{-3} mole 以下로 混入할 때 CHP의 PO 生成에 對한 選擇度는 98% 以上이며 이 때의 反應은 (1), (2), (3), (4) 및 (12)에 依하여 進行되고 PO의 生成速度는 다음 式에 依據한다.

$$\frac{d[PO]}{dt} = K [CH_3CH=CH_2] [ROOH] [Mo]^{1.17}$$

3. 反應系에서 Mo 觸媒의 濃度가 增加하면 反應(4)의 speed 增加 보다는 反應(7)의 speed 增加가 相對的으로 커지어 CHP의 PO 生成에 對한 選擇度가 徐徐히 減少하며 CHP의 分解速度는 漸次로 增加 한다. 이러한 現象은 Mo 농도의 증가에 따라 連鎖開始反應速度는 增加하나 Mo 와 propylene의 반응은 一定한 농도 以上에서는 Mo 농도에 比例하여 증가하지 못하는데 基因한다.

4. 2項과 같은 液相組成에서 80°C 부터 105°C 까지의 反應溫度範圍에서 CHP의 PO 生成에 對한 選擇度는 98% 以上이며 80°C에서의 反應速度를 基準으로 하여 90°C에서 1.87倍, 105°C에서 5.57倍의 反應速度가 증가하므로 反應溫度가 10°C 增加함에 따라 反應速度는 約 2倍增加함을 알 수 있다.

그러므로 PO에의 選擇度를 높이면서 反應速度를 增加시키기 위해서는 液相에서 Mo 觸媒의 농도를 6.8×10^{-4} mole/l 以下로 하고 反應溫度를 높이는 것이 效果的이다.

5. Co, Cu, 및 Mn 化合物 觸媒는 CHP의 分解速度는 촉진 시키나 反應(4)를 選擇的으로 進行시키지 못하고 主로 (1), (2), (3), (5), (7) 및 (12) 反應에 의해서 CHP를 分解시키므로 選擇度面에서 불때 無觸媒反應만도 못하다.

6. 이 反應의 活動化 에너지는 Arrhenius plot에 依해서 計算한 結果 18.8 kcal/mole이다.

參考文獻

- 李華榮; 화학공학 7 4, 176(1969).
- A. C. Fyvie; Chem. and Ind. 384, March 7(1964).
- 石川敏夫; 油化學 14 8, 434(1965).
- 小田良平; 酸化 255, 化學工業社(1963).
- Escambia Chem. Corp., U.S. Pat. 2780635 (1957).
- Monsanto Co., U.S. Pat. 3228968(1966).
- 今村壽一, 平田道正, 河瀬巖, 太田陽人; 有機合成化學會誌 25 5, 421(1967).
- 今村壽一; et al., 工業化學雜誌 68 12, 2391 (1965).
- 今村壽一; et al., 東京工業試驗所報告 59 10, 447 (1964).
- Kellogg Co., U.S. Pat. 2649463(1953).
- 今村壽一; et al., 工業化學雜誌 69 8, 1454 (1966).
- Farbenfabriken, Ger. Pat. 1258856(1968).
- Halcon International Inc., U.S. Pat. 3361635 (1967).
- Atlantic Refining Co., Neth. Pat. 6605821(1967).
- Halcon International Inc., Neth. Pat. 6507189 (1965).
- Halcon International Inc., U.S. Pat. 3350422 (1967).

17. F. R. Mayo; *J. Am. Chem. Soc.* **80**, 2465(1958).
18. G. H. Twigg; *Chem. Eng. Sci. Spec. Suppl.* 3, 5 (1954).
19. W. F. Brill; *J. Am. Chem. Soc.* **85**, 141(1963).
20. L. F. Hatch; *Hydrocarbon Processing* **3**, 101 (1970).
21. N. M. Emanuel, E. T. Denisov, Z. K. Maizus; *Liquid-Phase Oxidation of Hydrocarbon*, a 191, b 5, c 312, d 142, e 9, f 310, g 27, Plenum Press, N. Y. (1967)
22. 徳丸克己; 外数人, 遊離基の化学(化学の領域増刊 81号) a 285, a 131, c 4, 南江堂(1967).
23. 島村修; 外 数人, 講座有機反応機構 9巻, a 232, b 73, 東京化学同人会(1969).
24. W. A. Pryor; *Free Radicals*, a 115, b 12, McGraw Hill Co. (1966).
25. T. A. Turney; *Oxidation Mechanisms*, 145, Butterworths, London(1965).
26. N. M. Emanuel; et al, *Angew. Chem.* **81** 3, 91 (1969).
27. M. S. Kharash; Andrew Fono, W. Nudenberg, B. Bishop, *Org. Chem.* **16**, 207(1951).
28. M. S. Kharash; et al., *Org. Chem.* **18**, 322(1953).
29. M. S. Kharash; et al., *Org. Chem.* **16**, 1556 (1951).
30. D. B. Denney, J. D. Rosen; *Tetrahedron* **20**, 1271 (1964).
31. B. K. Morse; *J. Am. Chem. Soc.* **79**, 3375(1957).
32. 二木銳雄, 神谷佳男; *燃料協会誌* **49**, 136(1969).
33. G. H. Twigg, *Chem. and Ind.* **4**(1962).
34. M. S. Kharash; et al., *Org. Chem.* **15**, 763 (1950).
35. M. S. Kharash; et al., *Org. Chem.* **16**, 105 (1951).
36. M. S. Kharash; et al., *Org. Chem.* **16**, 113 (1951).
37. F. S. Dainton; *Chain Reactions*, 84, Methuen & Co., London(1966).
38. 李載聖, 李華榮; *화학공학* **8** 2, 50 (1970).
39. 李載聖, 李華榮; 大韓石油公社研究報告書 (1971),
40. D. Barnard, K. R. Hargrave; *Anal. Chem.*, *Acta* **5**, 476(1951).
41. K. R. Hargrave, A. L. Morris; *Trans. Faraday Soc.* **52**, 89(1951).
42. E. Peters, R. Smith; *Ind. Eng. Chem.* **19**, 976 (1946).
43. J. W. Manr; Private Letter, Climax Molybdenum Co. (1971).

